

УДК 544.723.2

АНИЗОТРОПИЯ ПОВЕРХНОСТНЫХ СВОЙСТВ КАОЛИНИТА И ЕЕ РОЛЬ ПРИ АДСОРБЦИИ МОЛЕКУЛ ВОДЫ

© 2023 г. А. С. Каспржицкий¹, *, Г. И. Лазоренко¹, А. А. Кругликов¹, В. А. Явна¹

¹ФГБОУ ВО “Ростовский государственный университет путей сообщения”,
пл. Ростовского полка народного ополчения, 2, Ростов-на-Дону, 344038 Россия

*e-mail: akasprzhitsky@yandex.ru

Поступила в редакцию 06.11.2022 г.

После доработки 12.02.2023 г.

Принята к публикации 21.02.2023 г.

Адсорбционная способность краевых и базальных поверхностей каолинита может сильно различаться. Эти особенности определяют характер его адсорбционного поведения, оставаясь мало изученными. При этом, именно анизотропия краевой поверхности определяет широкую область применения каолинита в геохимических, экологических и технологических приложениях. В работе с использованием первопринципных расчетов определено влияние анизотропии поверхности каолинита на ее адсорбционную способность. Изучен механизм связывания молекул воды с наиболее стабильными поверхностями каолинита: (001), (001̄), (010), (110). Установлено, что наиболее энергетически выгодные адсорбционные конфигурации молекул воды возникают на краевой поверхности (010), превышая в ~4 раза энергию адсорбции на базальной поверхности (001̄). Возникающая энергетическая разница обусловлена участием в адсорбционном механизме кроме поверхностных кислородов также гидроксильных групп, отсутствие которых значительно снижает вероятность образования водородных связей. Полученные результаты находятся в согласии с результатами существующих исследований.

DOI: 10.31857/S0023291222600596, EDN: UTKL

ВВЕДЕНИЕ

Каолинит $\text{Al}_2\text{Si}_2\text{O}_5(\text{OH})_4$ принадлежит к подгруппе минералов каолина-серпентина и часто встречается в различных почвах и осадочных породах [1]. Структура каолинита характеризуется сеткой тетраэдров SiO_4 (T), образующих силоксановый лист, и связанных с диоктаэдрическим листом октаэдров $\text{AlO}_4(\text{OH})_2$ (O), формирующих повторяющуюся многослойную структуру ТО [2, 3]. Координационное окружение каждого Al включает одну внутреннюю и три поверхностных гидроксильных группы. Обычно демонстрируя идеальную стехиометрию и имея ограниченное количество примесей, каолинит является незаряженным. Водородные связи между базальными гидроксильными группами О-слоя и базальным силоксановым кислородом T-слоя приводят к стабильным взаимодействиям ТО–ТО, которые в конечном итоге создают слоистую протяженную структуру кристалла вдоль оси c [3]. Гексагональные атомные кольцевые структуры листов T и O приводят к образованию макроскопических кристаллов гексагональной формы с заканчивающимися краевыми структурами [4], адсорбционная активность которых является предметом данного теоретиче-

ского исследования. Именно анизотропия краевой поверхности, на долю которой приходится от 18 до 30.4% от общей площади, определяет широкую область применения каолинита в геохимических, экологических и технологических приложениях [5–7].

В последнее время стало понятно, что адсорбция молекул воды на базальных поверхностях каолинита отличается от таковой на его краях, которые контролируются атомными центрами –Al–O и –Si–O, возникающими при разрыве связей [8]. Сложность наблюдения краевой структуры частиц каолинита не позволяет в полной мере изучить на них адсорбцию молекул воды. Хотя именно структура краевых участков может сильно влиять на адсорбционную способность поверхности каолинита [3]. В этом случае важную роль в изучении структуры краев каолинита играет моделирование [9, 10]. Адсорбционное поведение молекул воды на поверхностях каолинита является предметом исследования широкого класса теоретических и экспериментальных работ [11–28]. К настоящему времени с использованием квантово-химических и молекулярных методов расчета детально исследовано адсорбционное поведение молекул воды и других молекулярных систем на

базальных поверхностях каолинита, которые характеризуются различным типом поверхностного (силоксанового/гидроксильного) интерфейса [10–27, 29–31]. Это обусловлено слоистой кристаллической структурой каолинита, которая позволяет естественным образом разделить минерал вдоль базальных поверхностей. В расположении молекул воды на силоксановой плоскости каолинита преобладают водородные связи между молекулами воды [14–16, 18–25]. Напротив, OH-группы гидроксильной поверхности каолинита сильно взаимодействуют с водой и определяют ориентацию молекул в водной пленке [19–25]. При формировании монослойных водных пленок на силоксановой поверхности каолинита, молекулы обладают слабо-гидрофобными свойствами [15, 20–25]. Изученные механизмы связывания органических молекул, таких как формамид [29], молочная кислота [30] и глюкоза [31], с базальными поверхностями также указывают на важную роль водородных связей.

Для краев частиц построение модели поверхности каолинита усложняется наличием разного типа адсорбционных центров, возникающих при разрыве ($\text{Si}-\text{O}/\text{Al}-\text{O}$) связей. Это ограничение при построении моделей краевой поверхности могло оказаться одним из факторов, которые привели лишь к частичному исследованию поведения простых молекул на краевых участках каолинита [32, 33]. Имеющиеся разрозненные результаты исследований не дают полного представления об адсорбционном поведении и механизмах образования связей молекулы с атомами краевых поверхностей [32, 33].

Цель данного исследования и его новизна заключается в полном сравнительном изучении адсорбционного поведения и механизмов связывания молекул воды на существующих стабильных краевых поверхностях каолинита. Выбор каолинита в качестве объекта исследования обусловлен преимущественной стабильностью его кристаллической структуры, которая слабо подвержена изоморфным замещениям, что позволяет рассматривать ее в качестве идеальной (модельной) системы. Преимущественное отсутствие изменений в его кристаллической структуре, в том числе изоморфных замещений, позволяет изучить механизм адсорбции молекул, как на базальных, так и на краевых поверхностях, без влияния дополнительных факторов, вызванных локальными структурными нарушениями. Кроме того, каолинит обладает ярко выраженными различиями в структуре базальных поверхностных силоксановых и гиббситоподобных слоев. Это позволяет установить особенности поведения молекул воды для поверхностей, характерных не только для каолинита, но и для других классов глинистых минералов.

Задачей исследования являлось изучение особенностей адсорбционного поведения молекулы

воды, что позволяет оценить ее степень сродства к краевым поверхностям каолинита, их гидрофобные или гидрофильные участки. В работе определены центры адсорбции рассмотренных минеральных поверхностей и проанализирован механизм связывания с ними молекул воды. Анализ выполнен на основе структурных и энергетических характеристик наиболее стабильных адсорбционных состояний молекулы воды. Для решения данной задачи использован комплекс методов Монте-Карло и теории функционала плотности. Это позволяет обеспечить отбор с использованием метода Монте-Карло наиболее низкоэнергетических состояний молекул воды, которые в дальнейшем были дополнительно оптимизированы с использованием теории функционала плотности для всех рассмотренных поверхностей каолинита.

МЕТОДИКА МОДЕЛИРОВАНИЯ

Модели

В работе использована элементарная ячейка кристалла каолинита $\text{Al}_2\text{Si}_2\text{O}_5(\text{OH})_4$ с параметрами $5.15 \text{ \AA} \times 8.94 \text{ \AA} \times 7.40 \text{ \AA}$, $\alpha = 91.69^\circ$, $\beta = 89.82^\circ$, $\gamma = 104.61^\circ$ [34]. Положения атомов водорода и ориентация кристаллических OH-групп в элементарной ячейке были определены на основе работы [35].

Модели краевых поверхностей были построены на основе предварительно оптимизированной суперячейки $2 \times 1 \times 2$ путем расслоения объемного кристалла вдоль наиболее часто наблюдаемых кристаллографических плоскостей каолинита: (001), (00 $\bar{1}$), (010), (110) и (11 $\bar{0}$) [4], которые представлены на рис. 1. Положения плоскостей расслоения были выбраны из условия минимизации количества оборванных связей.

Согласно работе [36], наблюдаемая структура краевых поверхностей (010) и (110) соответствует АС типу цепи (рис. 2б, 2д), а (11 $\bar{0}$) соответствует В типу цепи (рис. 2в) [36]. Оборванные связи были скомпенсированы с помощью химической сорбции молекул H_2O для получения нулевого суммарного заряда моделей. В периодической модели соседние минеральные поверхности были разделены вакуумной областью 20 Å. Полученная поверхность АС₁ обладает концевыми группами SiOH и Al(OH)(OH₂), а полученные поверхности АС₂ и В – группами SiOH и Al(OH)₂.

Метод

Первопринципные расчеты были выполнены с использованием теории функционала плотности, реализованной в неэмпирическом программном пакете моделирования Cambridge Sequential Total Energy Package (CASTEP) [37]. CASTEP показал эффективность при изучении адсорбционного поведения

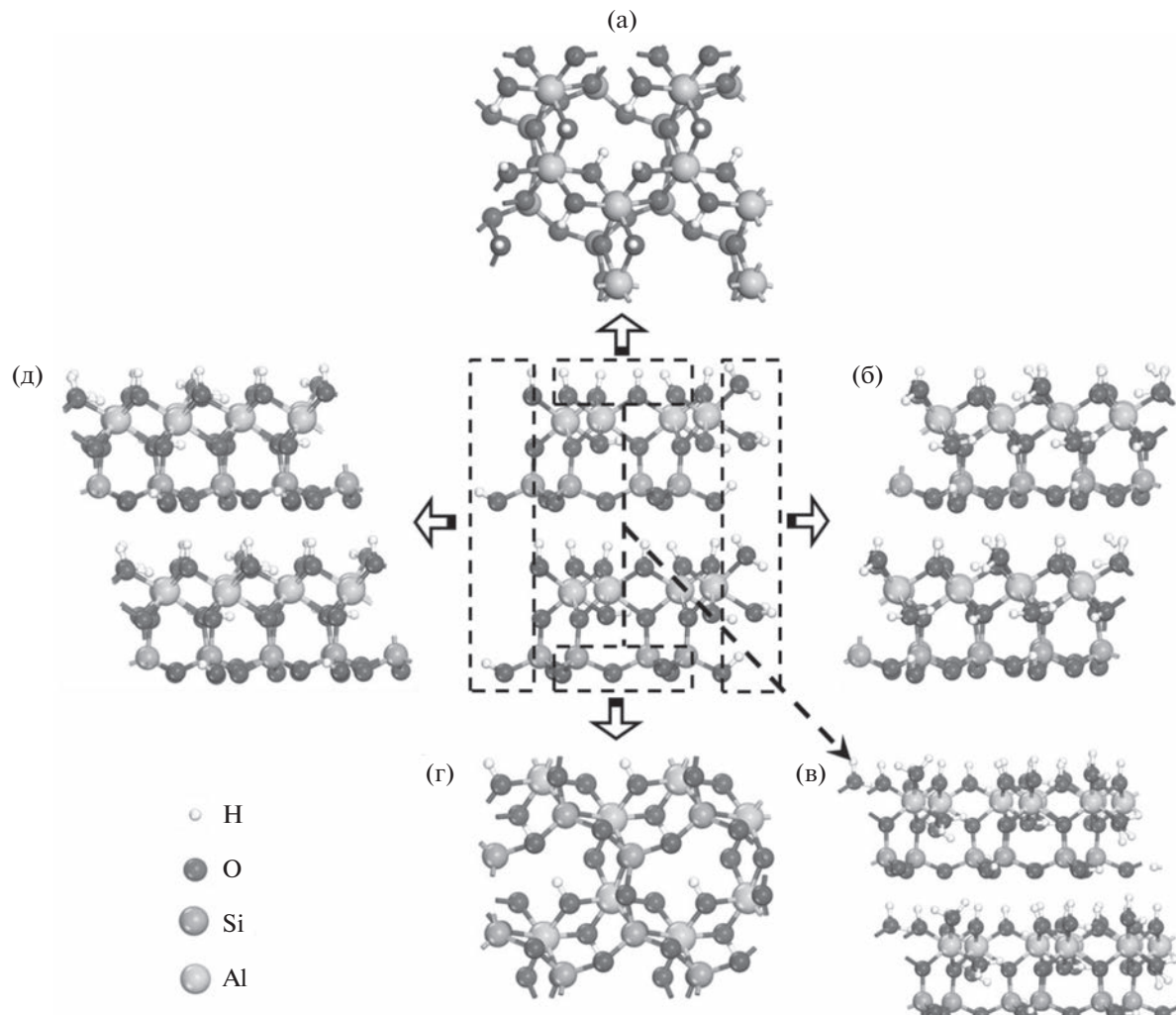


Рис. 1. Структурные модели базальных и краевых поверхностей каолинита: (а) базальная поверхность (001), (б) краевая поверхность (010) со структурой концевых групп АС₁ типа; (в) краевая поверхность (110) со структурой концевых групп В типа; (г) базальная поверхность (001), (д) краевая поверхность (010) со структурой концевых групп АС₂ типа. Структурные параметры и межатомные расстояния приведены в табл. 1, 2.

молекулярных систем на минеральных поверхностях [38, 39]. Вычисления проводились в рамках приближения обобщенного градиента (GGA) в формулировке Пердью, Бурка и Эрнзерхоя (PBE) [40]. Сравнительные тестовые расчеты для элементарной ячейки кристалла каолинита показали отличие в значениях полных энергий, не превышающее 4 мэВ при использовании базиса присоединенных плоских волн с энергиями отсечки более 500 эВ. Для всех исследуемых моделей число k -точек в первой зоне Бриллюэна было выбрано на основе сетки $2 \times 3 \times 1$, полученной с помощью схемы Монхорста–Пака [41]. Взаимодействие между валентными электронами и ионными остовами было описано с использованием ультрамягкого псевдопотенциала Вандербильта [42]. При решении уравнения Кона–Шема в качестве валент-

ных состояний для исследуемых систем были выбраны следующие: H(1s¹), O(2s²2p⁴), Al(3s²3p¹) и Si(3s²3p²), а оставшиеся были представлены вместе с ядрами кристаллической структуры с помощью предварительно сгенерированных псевдопотенциалов.

Для решаемой задачи водородная связь и силы Ван-дер-Ваальса (vdW) играют важную роль. Они определяют не только характер взаимодействия молекул воды с поверхностью каолинита, но и стабильность его структуры. Это обусловлено особенностью его кристаллической структуры, состоящей из силоксановых и гиббситоподобных слоев, прочно связанных водородными связями [43–45]. В настоящее время должным образом vdW взаимодействие может быть описано только

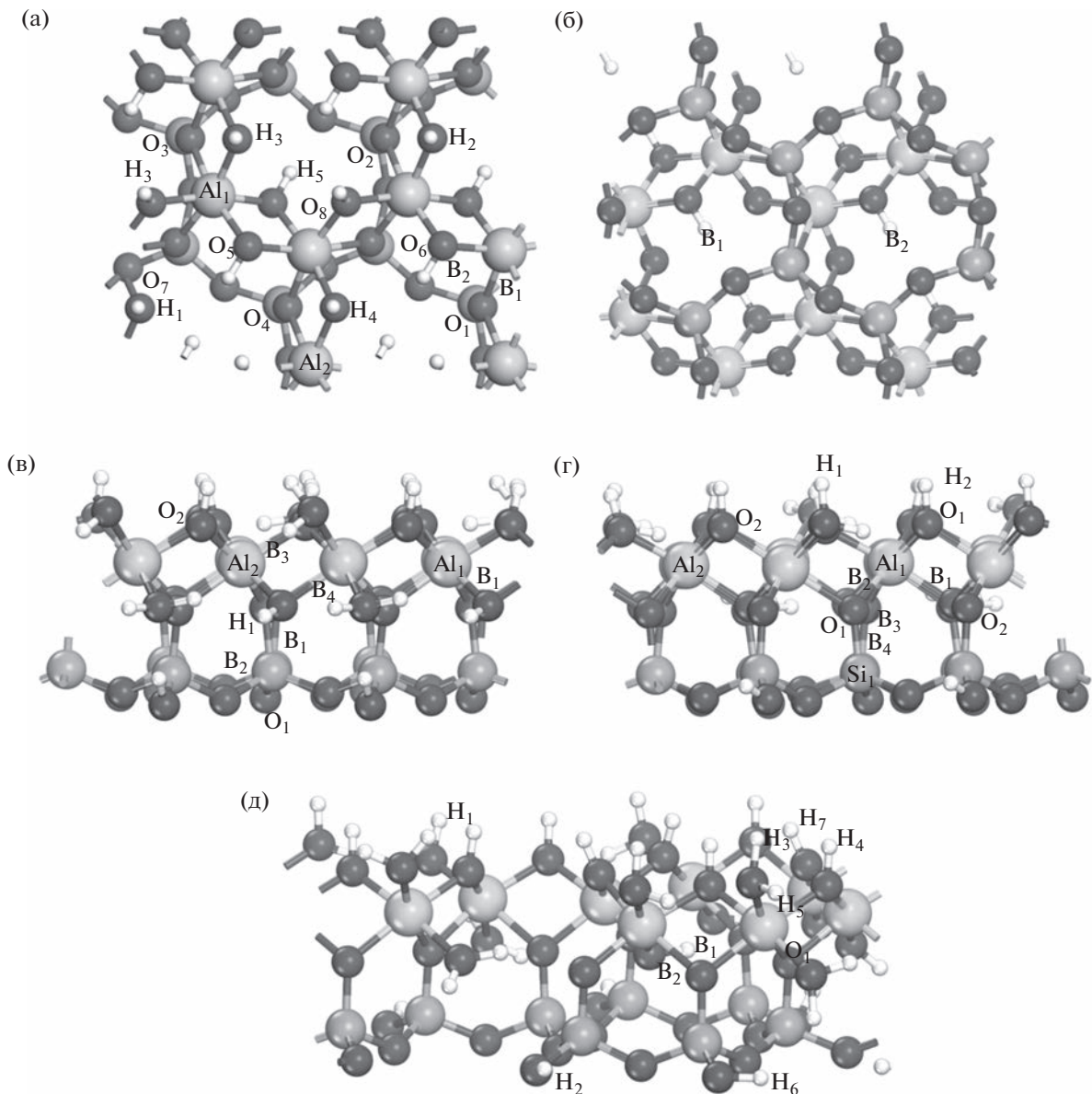


Рис. 2. Начальные и конечные положения молекулы воды на базальной и краевых поверхностях каолинита: (а) базальная поверхность (001), (б) базальная поверхность (001̄), (в) краевая поверхность (010) со структурой концевых групп АС₁ типа; (г) краевая поверхность (010) со структурой концевых групп АС₂ типа; (д) краевая поверхность (11̄) со структурой концевых групп В типа. Начальные и конечные положения молекулы воды приведены в табл. 3, 4 и 5.

высокоточными квантово-химическими волновыми функциями или квантовым методом Монте-Карло [46, 47]. При этом, используемые в теории функционала плотности DFT-функционалы в приближении обобщенного градиента (GGA) не позволяют корректно описать эти взаимодействия. Преодолеть эту проблему можно учетом дисперсионной поправки $\sim C_6 R^{-6}$ в приближении DFT-D, которая заключается в добавлении полуэмпирического дисперсионного потенциала к обычному функционалу полной энергии Конн–Шема [48].

В работе использован метод DFT-D Гrimme (также известный как DFT-D2), в котором, дисперсионные взаимодействия описываются с помощью простого парного силового поля, оптимизированного для DFT функционала [49].

Оптимизация структуры молекулы H_2O была предварительно проведена в кубической ячейке с размерами $30 \text{ \AA} \times 30 \text{ \AA} \times 30 \text{ \AA}$ с использованием параметров расчета, указанных выше и в гаммачарактеристике первой зоны Бриллюэна.

Таблица 1. Параметры моделируемой ячейки каолинита

Параметры ячейки	Результаты расчета	Эксперимент [34]	Эксперимент [35]
a , Å	5.155(4)	5.154(9)	5.1535(3)
b , Å	8.944(8)	8.942(4)	8.9419(5)
c , Å	7.404(8)	7.401(10)	7.3906(4)
α , град	91.700	91.69(9)	91.926(2)
β , град	104.862	104.61(5)	105.046(2)
γ , град	89.822	89.82(4)	89.797(2)

Выбор исходного положения и конфигураций молекулы воды на построенных моделях поверхностей каолинита осуществлен методом Монте-Карло в большом каноническом ансамбле (GCMC) с использованием кода RASPA [50]. В этом ансамбле химический потенциал (μ), объем ячейки моделирования (\mathcal{V}) и температура (T) фиксированы. Расчет осуществлен с использованием силового поля COMPASS [51]. Каждый расчет состоял из 1000000 шагов для уравновешивания и 1000000 шагов для усреднения по ансамблю. Кулоновские взаимодействия рассчитаны по методу Эвальда с относительной точностью 1×10^{-6} .

Работа выполнена с использованием оборудования Центра коллективного пользования сверхвысокопроизводительными вычислительными ресурсами МГУ имени М.В. Ломоносова [52].

РЕЗУЛЬТАТЫ И ОБСУЖДЕНИЕ

Оптимизированная кристаллическая структура

В результате оптимизации ячейки каолинита $\text{Al}_2\text{Si}_2\text{O}_5(\text{OH})_4$ были получены следующие структурные параметры: $a = 5.155(4)$ Å, $b = 8.944(8)$ Å, $c = 7.404(8)$ Å; $\alpha = 91.7^\circ$, $\beta = 104.862^\circ$, $\gamma = 89.822^\circ$. Как показано в табл. 1, полученные параметры ячейки находятся в хорошем согласии с имеющимися экспериментальными данными [34, 35]. Также выполнено сравнение для расстояний между атомами ячейки, которые представлены в табл. 2. Наблюдается хорошее согласие между вычисленными и измеренными межатомными расстояниями для неводородных атомов, полученные как при комнатной температуре [34], так и для низкотемпературного состояния [35]. Расчетные длины связи в OH-группе составляют ~ 0.97 Å, что практически идентично данным нейтронной порошковой дифракции [35]. В то же время, длины гидроксильных связей, представленные в [34], получены по рентгеновским данным при комнатной температуре и менее надежны для определения положения атомов, чем результаты

нейтронных экспериментов в низкотемпературном состоянии (~ 1.5 K).

Адсорбционные конфигурации и анализ заселенности орбиталей

Для изучения адсорбционного поведения молекулы воды, установления механизма образования связей и определения адсорбционных центров базальных и краевых поверхностей каолинита методом GCMC были определены начальные позиции молекулы, представленные на рис. 2. Дальнейшая оптимизация геометрии с помощью DFT расчета позволила получить конечные позиции молекулы воды (рис. 2).

Проанализированы состояния с разной ориентацией молекулы воды (OH-групп) к поверхности каолинита. Выбор наиболее устойчивых адсорбционных конфигураций молекулы воды выполнен в соответствии с критерием минимальной энергии адсорбции. Анализ связей, возникающих при адсорбции молекулы воды на поверхностях каолинита, был выполнен в соответствии с геометрическими критериями: $d(\text{O}_A-\text{H}_D) \leq 2.45$ Å и $D(\text{O}_A-\text{O}_D) \leq 3.60$ Å, где O_A – атом-акцептор; H_D , O_D – атом-донор [53].

Тип возникающих связей определен на основе анализа заселенностей по Малликену [54]. Ненулевые значения указывают на ковалентный тип связи, а нулевые значения – на ионный. Положительные и отрицательные значения заселенности молекулярной орбитали свидетельствуют о появлении связывающих или разрывающих состояний. Данные о возникших связях для отобранных адсорбционных состояний молекулы воды на базальной поверхности каолинита представлены в табл. 3, а в табл. 4 – для краевых. Наиболее прочно связанные адсорбционные состояния молекулы воды на поверхностях каолинита представлены на рис. 3.

Адсорбционное состояние молекулы воды на гидроксильной поверхности (001) характеризуется возникновением двух типов устойчивых состояний. В первом случае возникают две связи между атомом кислорода молекулы и поверхностны-

Таблица 2. Межатомные расстояния (\AA) в структуре каолинита

Тип связи	Результаты расчета	Эксперимент [34]	Эксперимент [35]
O(h ₁)…H ₁	0.975451	0.75	0.975
O(h ₂)…H ₂	0.971727	0.76	0.982
O(h ₃)…H ₃	0.972352	0.77	0.982
O(h ₄)…H ₄	0.981550	0.88	0.975
Si ₁ …O ₁	1.63733	1.614	1.618
Si ₁ …O ₃	1.61464	1.620	1.611
Si ₁ …O ₄	1.61542	1.618	1.620
Si ₁ …O ₅	1.62082	1.628	1.619
Si ₂ …O ₂	1.63688	1.605	1.612
Si ₂ …O ₃	1.62075	1.622	1.617
Si ₂ …O ₄	1.61581	1.616	1.616
Si ₂ …O ₅	1.61488	1.615	1.608
Al ₁ …O ₁	1.93490	1.948	1.927
Al ₁ …O ₂	1.95250	2.001	1.930
Al ₂ …O ₁	1.94953	1.990	1.931
Al ₂ …O ₂	1.93244	1.946	1.919

ми водородами, а во втором случае возникает связь между атомом водорода молекулы и поверхностным кислородом (табл. 3). Увеличение сродства молекулы воды с гидроксильной поверхностью характеризуется одновременным возникновением обоих типов указанных состояний и увеличением заселенности возникших связей (табл. 3, рис. 3а). Рассчитанные равновесные длины O_w…H_s согласуются с имеющимися данными работ [14, 20, 21, 23, 25] и соответствуют значениям: 1.957 [14], 1.925 [20], 2.090 [21], 2.046 [23], 1.9 Å [25].

На силоксановой поверхности (001) вследствие отсутствия поверхностных OH-групп для молекулы воды реализуется только одно устойчивое состояние с образованием связей между атомами водорода молекулы и поверхностными кислородами (табл. 3, рис. 3б). Длины равновесных связей H_w…O_s согласуются с имеющимися данными работ [14, 21, 23, 25]: 2.142 [14], 2.127 [20], 2.440 [21], 2.547 [23], 2.1 Å [25].

Для поверхности (010) с концевыми группами AC₁ типа характерно устойчивое адсорбционное состояние, возникающее при образовании двух связей между атомом кислорода молекулы и поверхностными водородами. Это обусловлено преимущественным наличием OH₂₋ и OH- поверхностных групп, атомы водорода которых оказываются наиболее выгодными для образования с ними связей из-за их высокой плотности на данной поверхности (табл. 4, рис. 3в).

Наличие только OH-групп и их сравнительно меньшая плотность на поверхности (010) с концевыми группами AC₂ типа по сравнению с AC₁(010) открывает возможность образования дополнительной связи между водородом молекулы воды и поверхностным кислородом. Это приводит к реализации двух устойчивых состояний: первое – при образовании двух связей между атомом кислорода молекулы и поверхностными водородами, а второе – при возникновении связи между атомом водорода молекулы и поверхностным кислородом (табл. 4). Более стабильные состояния возникают с ростом заселенности связей и сокращением их длины (табл. 4, рис. 3г).

Неоднородность распределения OH-групп на поверхности (110) приводит к возникновению трех устойчивых состояний. Первое характеризуется возникновением двух связей, одна из которых между атомом водорода молекулы с поверхностным кислородом, а вторая между кислородом молекулы и поверхностным водородом. Второе состояние обусловлено возникновением двух связей между кислородом молекулы и поверхностными водородами. Третье обусловлено возникновением одной прочной связи между кислородом молекулы и поверхностным водородом (табл. 4). Наиболее стабильный механизм связи реализуется на поверхности (110) при возникновении третьего состояния (табл. 4, рис. 3д).

Таблица 3. Параметры возникших связей для адсорбированного состояния молекулы воды на базальных поверхностях каолинита. O_w – атом кислорода молекулы воды, O_s – атом кислорода базальной поверхности, H_w – атом водорода молекулы воды, H_s – атом водорода базальной поверхности

Тип адсорбционной конфигурации	Начальная позиция	Конечная позиция	Тип связи	Длина, Å	Заселенность
$H_2O/(001)$	B_4	B_5	$O_w \cdots H_s$	1.950 2.098	0.05 0.03
	O_2	O_2	$H_w \cdots O_s$ $O_w \cdots H_s$	1.748 1.889 2.157	0.09 0.06 0.03
	H_3	O_5	$H_w \cdots O_s$ $O_w \cdots H_s$	1.736 2.066 2.032	0.10 0.04 0.03
	B_3	O_1	$H_w \cdots O_s$ $O_w \cdots H_s$	1.715 1.919 2.184	0.11 0.05 0.03
	Al_3	O_6	$H_w \cdots O_s$ $O_w \cdots H_s$	1.707 2.067 2.078	0.11 0.03 0.03
	O_8	Al_4	$H_w \cdots O_s$ $O_w \cdots H_s$	1.738 1.978 2.135	0.10 0.04 0.03
	H_5	O_5	$H_w \cdots O_s$ $O_w \cdots H_s$	1.688 1.943 1.961	0.12 0.05 0.05
	H_3	O_9	$H_w \cdots O_s$ $O_w \cdots H_s$	1.696 1.960 1.984	0.12 0.05 0.04
$H_2O/(00\bar{1})$	B_1	B_1	$H_w \cdots O_s$	2.419 2.236	0.00 0.01
	B_2	B_2	$H_w \cdots O_s$	2.366 2.387	0.00 0.00

Адсорбционная энергия

Энергетическая оценка механизма адсорбции молекулы воды на базальных и краевых поверхностях каолинита основана на расчете энергии адсорбции E_{ads} следующим образом:

$$E_{ads} = E_{H_2O/KS} - E_{H_2O} - E_{KS},$$

где $E_{H_2O/KS}$ – полная энергия моделируемой системы с адсорбированной молекулой воды на выбранной поверхности каолинита, E_{H_2O} – энергия молекулы воды в газовой фазе, E_{KS} – полная энергия выбранной поверхности каолинита. Результаты расчета значений энергии адсорбции для выбранных адсорбционных конфигураций молекулы воды представлены в табл. 5.

Анализ результатов расчета показывает, что характерное увеличение энергии адсорбции

происходит при переходе от базальных к краевым поверхностям каолинита. Учитывая наиболее энергетически выгодные состояния для изученных поверхностей, наблюдается следующая последовательность: -33.37 ккал/моль для $AC_2(010)$; -20.98 ккал/моль для $AC_1(010)$; -19.44 ккал/моль для (001) ; -14.69 ккал/моль для $B(1\bar{1}0)$ и -8.05 ккал/моль для $(00\bar{1})$. Эта закономерность согласуется с результатами анализа возникающих связей. Наиболее энергетически выгодная адсорбционная конфигурация молекулы воды возникает на краевой поверхности $AC_2(010)$, превышая в ~ 4 раза энергию адсорбцию на базальной поверхности $(00\bar{1})$. Полученные результаты согласуются с существующими данными работ [14, 15, 20, 21, 23, 25]. Для молекулы воды в наиболее низкоэнергетическом состоянии на гидроксильной поверхности (001) имеются следующие значения

Таблица 4. Параметры возникших связей для адсорбированного состояния молекулы воды на краевых поверхностях каолинита. O_w – атом кислорода молекулы воды, O_s – атом кислорода базальной поверхности, H_w – атом водорода молекулы воды, H_s – атом водорода базальной поверхности

Тип адсорбционной конфигурации	Начальная позиция	Конечная позиция	Тип связи	Длина, Å	Заселенность
$H_2O/AC_1(010)$	B_1	B_2	$O_w \cdots H_s$	1.788	0.09
	O_2	Al_2	$O_w \cdots H_s$	1.766 1.789	0.08 0.08
	H_1	H_1	$O_w \cdots H_s$	1.593 1.908	0.13 0.06
	O_1	H_1	$O_w \cdots H_s$	1.601 1.851	0.13 0.07
	Al_2	Al_2	$O_w \cdots H_s$	1.686 1.804	0.11 0.08
	H_1	Al_2	$O_w \cdots H_s$	1.685 1.791	0.11 0.08
	B_1	Al_1	$O_w \cdots H_s$	1.687 1.788	0.11 0.08
	Al_1	B_1	$O_w \cdots H_s$	1.683 1.797	0.11 0.08
	B_3	B_4	$O_w \cdots H_s$	1.618 1.766	0.13 0.08
$H_2O/AC_2(010)$	B_1	O_2	$O_w \cdots H_s$ $H_w \cdots O_s$	1.832 1.901	0.09 0.06
	B_2	B_3	$O_w \cdots H_s$ $H_w \cdots O_s$	2.135 2.114 2.544	0.03 0.03 0.01
	B_4	B_4	$O_w \cdots H_s$ $H_w \cdots O_s$	1.791 1.912	0.09 0.06
	O_1	Al_1	$O_w \cdots H_s$ $H_w \cdots O_s$	1.561 2.442 1.734	0.17 0.02 0.09
	O_2	Al_2	$O_w \cdots H_s$ $H_w \cdots O_s$	1.565 2.456 1.730	0.17 0.01 0.09
	O_1	Si_1	$O_w \cdots H_s$ $H_w \cdots O_s$	1.745 1.890	0.10 0.06
	O_1	O_1	$O_w \cdots H_s$ $H_w \cdots O_s$	1.822 1.870	0.09 0.06
	Al_1	Al_1	$O_w \cdots H_s$ $H_w \cdots O_s$	1.570 2.439 1.760	0.17 0.02 0.08
	H_1	H_2	$O_w \cdots H_s$ $H_w \cdots O_s$	1.704 2.919	0.10 0.00
$H_2O/B(1\bar{1}0)$	H_5	O_1	$O_w \cdots H_s$ $H_w \cdots O_s$	1.604 2.408	0.14 0.00
	Al_1	Al_1	$O_w \cdots H_s$	1.708 2.085	0.10 0.03
	H_6	H_7	$O_w \cdots H_s$	1.767	0.11
	B_1	B_2	$O_w \cdots H_s$ $H_w \cdots O_s$	1.658 2.280 2.939	0.13 0.01 0.00
	H_3	H_4	$O_w \cdots H_s$	1.690	0.13

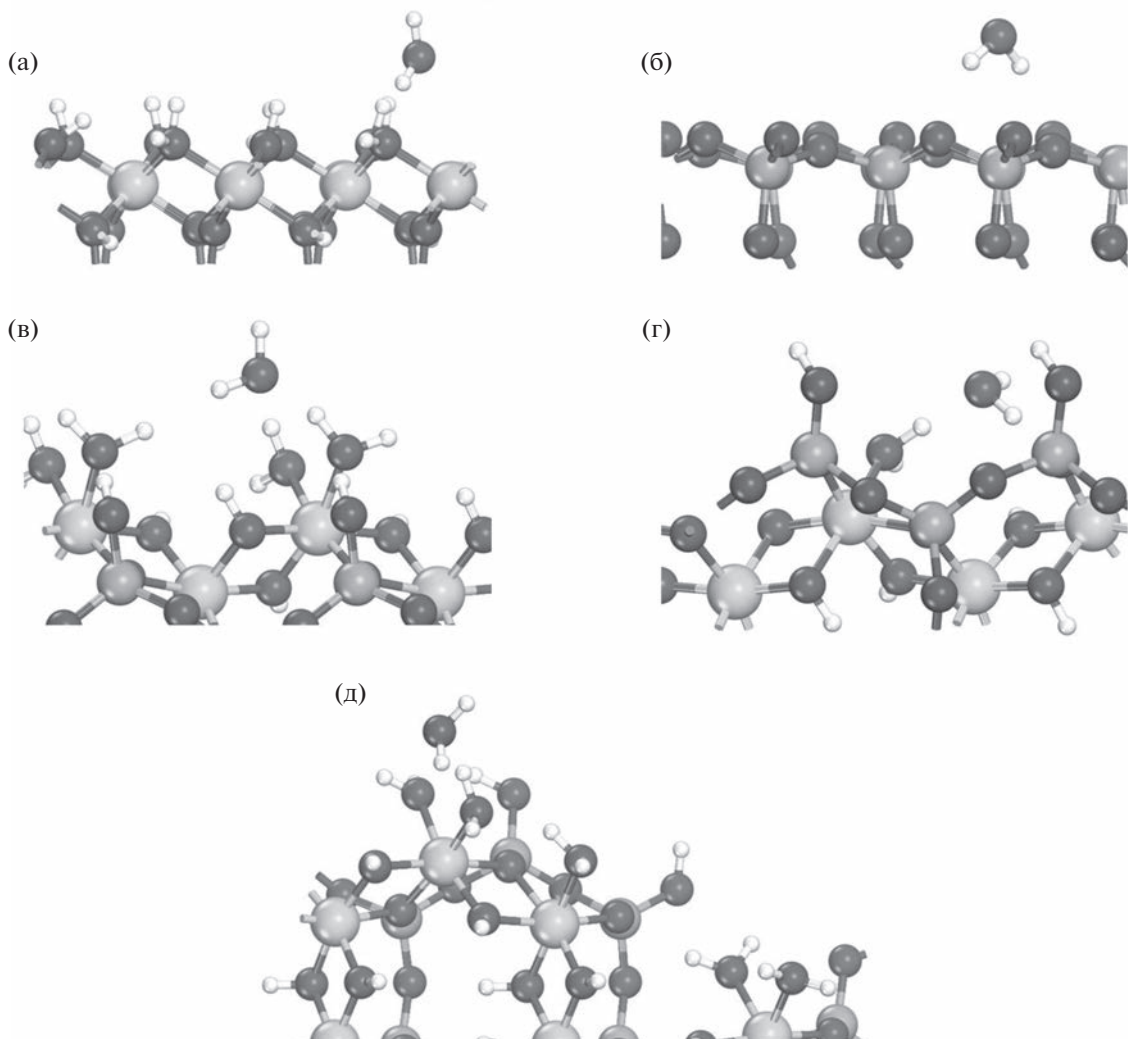


Рис. 3. Оптимальные равновесные адсорбционные конфигурации молекулы воды на поверхностях каолинита: (а) базальная поверхность (001), (б) базальная поверхность (001̄), (в) краевая поверхность (010) со структурой концевых групп АС₁ типа; (г) краевая поверхность (010) со структурой концевых групп АС₂ типа; (д) краевая поверхность (110) со структурой концевых групп В типа.

адсорбционной энергии (ккал/моль): -22.1 [14]; -15.22 [15]; -16.51 [20]; -17.24 [21]; -15.71 [23]; -14.7 [25]. Для равновесного состояния молекулы воды на силоксановой поверхности (001̄) имеются следующие значения адсорбционной энергии (ккал/моль): -9.92 [20]; -4.60 [21]; -4.63 [23]; -4.1 [25].

Рассмотренные поверхности каолинита характеризуются повышенной гидрофильностью при наличии OH-групп. Вместе с тем, снижение сродства молекул воды к поверхности каолинита возникает с увеличением плотности оборванных связей, порождающих поверхностные OH-группы. Это обусловлено снижением вероятности образования связей молекулой воды непосредственно с поверхностными атомами кислорода. На это указывает снижение энергии адсорбции для наиболее

стабильных состояний на поверхностях АС₁(010) и В(110) по сравнению с АС₂(010) в ~1.6 и ~2.3 раза соответственно.

ЗАКЛЮЧЕНИЕ

В работе в рамках теории функционала плотности выполнено первопринципное моделирование адсорбции молекулы воды на наиболее часто наблюдаемых поверхностях каолинита: (001), (001̄), (010), (110). Механизм связывания молекулы воды с минеральными поверхностями изучен на основе анализа структурных и энергетических характеристик наиболее стабильных адсорбционных состояний. Установлено, что он характеризуется двумя возможными устойчивыми состояниями. В первом случае возникает одна или две связи меж-

Таблица 5. Энергии адсорбции молекулы воды на каолинитовых поверхностях

Тип адсорбционной конфигурации	Начальная позиция	Конечная позиция	E_{ads} , ккал/моль	Начальная позиция	Конечная позиция	E_{ads} , ккал/моль
$H_2O/(001)$	B_4	B_5	-11.184	Al_3	O_6	-17.433
	O_2	O_2	-16.580	O_8	Al_4	-17.779
	H_3	O_5	-17.065	H_5	O_5	-19.094
	B_3	O_1	-17.134	H_3	O_9	-19.440
$H_2O/(00\bar{1})$	B_2	B_2	-8.002	B_1	B_1	-8.048
$H_2O/AC_1(010)$	B_1	B_2	-13.721	H_1	Al_2	-19.970
	O_2	Al_2	-18.171	B_1	Al_1	-19.993
	H_1	H_1	-19.232	Al_1	B_1	-20.039
	O_1	H_1	-19.394	B_3	B_4	-20.985
	Al_2	Al_2	-19.786			
$H_2O/AC_2(010)$	B_1	O_2	-13.859	O_2	Al_2	-23.429
	B_2	B_3	-14.159	O_1	Si_1	-26.266
	B_4	B_4	-15.519	O_1	O_1	-28.180
	O_1	Al_1	-23.383	Al_1	Al_1	-33.368
$H_2O/B(1\bar{1}0)$	H_1	H_2	-10.377	H_6	H_7	13.144
	H_5	O_1	-12.775	B_1	B_2	14.182
	Al_1	Al_1	-12.983	H_3	H_4	-14.689

ду атомом кислорода молекулы и поверхностными водородами, а во втором случае возникает связь между атомом водорода молекулы и поверхностным кислородом. Стабильность возникающих адсорбционных состояний соответствует следующей последовательности: -33.37 ккал/моль для $AC_2(010)$; -20.98 ккал/моль для $AC_1(010)$; -19.44 ккал/моль для (001); -14.69 ккал/моль для $B(1\bar{1}0)$ и -8.05 ккал/моль для (00 $\bar{1}$). Наиболее энергетически выгодная адсорбционная конфигурация молекулы воды возникает на краевой поверхности $AC_2(010)$, превышая в ~4 раза энергию адсорбции на базальной поверхности (00 $\bar{1}$). Вместе с тем, снижение сродства молекул воды к поверхности каолинита возникает с увеличением плотности оборванных связей, порождающих поверхностные OH-группы. Это обусловлено снижением вероятности образования связей молекулой воды непосредственно с кислородами поверхности каолинита. На это указывает снижение энергии адсорбции для наиболее стабильных состояний на поверхностях $AC_1(010)$ и $B(1\bar{1}0)$ по сравнению с $AC_2(010)$ в ~1.6 и ~2.3 раза соответственно.

ФИНАНСИРОВАНИЕ РАБОТЫ

Исследование и анализ геометрических характеристик адсорбции молекулы воды на базальных поверхностях каолинита выполнено при финансовой поддержке Российского научного фонда (проект № 21-79-20005). Исследование и анализ геометрических характеристик адсорбции молекулы воды и параметров образованных связей на краевых поверхностях каолинита выполнено за счет гранта Российского научного фонда № 19-79-10266, <https://rscf.ru/project/19-79-10266/>. Исследование энергетических характеристик адсорбционных состояний молекулы воды на поверхности каолинита выполнено при государственной поддержке молодых российских ученых – кандидатов наук за счет средств гранта Президента РФ (проект № МК-578.2022.4).

КОНФЛИКТ ИНТЕРЕСОВ

Авторы заявляют, что у них нет конфликта интересов.

СПИСОК ЛИТЕРАТУРЫ

- Brigatti M.F., Galán E., Theng B.K.G. Developments in Clay Science. Chapter 2 – Structure and Mineralogy of Clay Minerals. Amsterdam: Elsevier, 2013.

2. Schroeder P.A., Erickson G. Kaolin: From ancient porcelains to nanocomposites // Elements. 2014. V. 10. № 3. P. 177–182.
3. Balan E., Calas G., Bish D.L. Kaolin-group minerals: from hydrogen-bonded layers to environmental recorders // Elements. 2014. V. 10. № 3. P. 183–188.
4. Kameda J., Yamagishi A., Kogure T. Morphological characteristics of ordered kaolinite: investigation using electron back-scattered diffraction // Am. Mineral. 2005. V. 90. № 8–9. P. 1462–1465.
5. Bickmore B.R., Nagy K.L., Sandlin P.E. et al. Quantifying surface areas of clays by atomic force microscopy // Am. Mineral. 2002. V. 87. № 5–6. P. 780–783.
6. Cygan R.T., Tazaki K. Interactions of kaolin minerals in the environment // Elements. 2014. V. 10. № 3. P. 195–200.
7. Ndlovu B., Becker M., Forbes E. et al. The influence of phyllosilicate mineralogy on the rheology of mineral slurries // Minerals Engineering. 2011. V. 24. № 12. P. 1314–1322.
8. Brady P.V., Cygan R.T., Nagy K.L. Molecular controls on kaolinite surface charge // J. Colloid Interface Sci. 1996. V. 183. № 2. P. 356–364.
9. Presti D., Pedone A., Mancini G. et al. Insights into structural and dynamical features of water at halloysite interfaces probed by DFT and classical molecular dynamics simulations // Phys. Chem. Chem. Phys. 2016. V. 18. № 3. P. 2164–2174.
10. Šolc R., Gerzabek M.H., Lischka H. et al. Wettability of kaolinite (001) surfaces – molecular dynamic study // Geoderma. 2011. V. 169. P. 47–54.
11. Chatterjee A., Iwasaki T., Ebina T., Hayashi H. Quantum chemical calculation on clay–water interface // Appl. Surf. Sci. 1997. V. 121–122. P. 167–170.
12. Smirnov K.S., Bougeard D. A Molecular dynamics study of structure and short-time dynamics of water in kaolinite // J. Phys. Chem. B 1999. V. 103. № 25. P. 5266–5273.
13. Benco L., Tunega D., Hafner J., Lischka H. Upper limit of the O–H…O hydrogen bond. Ab initio study of the kaolinite structure // J. Phys. Chem. B. 2001. V. 105. № 44. P. 10812–10817.
14. Tunega D., Haberhauer G., Gerzabek M.H., Lischka H. Theoretical study of adsorption sites on the (001) surfaces of 1 : 1 clay minerals // Langmuir. 2002. V. 18. № 1. P. 139–147.
15. Hu X.L., Michaelides A. Water on the hydroxylated (0 0 1) surface of kaolinite: from monomer adsorption to a flat 2D wetting layer // Surf. Sci. 2008. V. 602. P. 960–974.
16. Kremleva A., Krüger S., Rösch N. Density functional model studies of uranyl adsorption on (001) surfaces of kaolinite // Langmuir. 2008. V. 24. № 17. P. 9515–9524.
17. Tarasevich Y.I., Aksenenko E.V., Polyakov V.E. Ab initio calculation of the hydration of organic cations and their associates with amines on the surface of kaolinite // Theor. Exp. Chem. 2009. V. 45. P. 373–379.
18. Martorell B., Kremleva A., Krüger S., Rösch N. Density functional model study of uranyl adsorption on the solvated (001) surface of kaolinite // J. Phys. Chem. C. 2010. V. 114. № 31. P. 13287–13294.
19. Michalkova A., Robinson T.L., Leszczynski J. Adsorption of thymine and uracil on 1 : 1 clay mineral surfaces: comprehensive ab initio study on influence of sodium cation and water // Phys. Chem. Chem. Phys. 2011. V. 13. № 17. P. 7862–7881.
20. Zhang C., Qi Y.-H., Qian P. et al. Quantum chemical study of the adsorption of water molecules on kaolinite surfaces // Comput. Theor. Chem. 2014. V. 1046. P. 10–19.
21. Chen J., Min F.-F., Liu L.-Y., Liu C.-F. Mechanism research on surface hydration of kaolinite, insights from DFT and MD simulations // Appl. Surf. Sci. 2019. V. 476. P. 6–15.
22. Han Y., Yan Z., Jin L. et al. In situ study on interactions between hydroxyl groups in kaolinite and re-adsorption water // RSC Adv. 2020. V. 10. № 29. P. 16949–16958.
23. Xi P., Ma R., Liu W. Research on the hydrophilicity of non-coal kaolinite and coal kaolinite from the viewpoint of experiments and DFT simulations // Symmetry. 2020. V. 12. P. 1199.
24. Каспржицкий А.С., Лазоренко Г.И., Сулавко С.Н. и др. Исследование структурных и спектральных характеристик свободной и связанной воды в каолините // Оптика и спектроскопия. 2016. Т. 121. № 3. С. 387–394.
25. Tunega D., Gerzabek M.H., Lischka H. Ab initio molecular dynamics study of a monomolecular water layer on octahedral and tetrahedral kaolinite surfaces // J. Phys. Chem. B. 2004. V. 108. № 19. P. 5930–5936.
26. Haria N.R., Grest G.S., Lorenz C.D. Viscosity of nano-confined water between hydroxyl basal surfaces of kaolinite: classical simulation results // J. Phys. Chem. C. 2013. V. 117. № 12. P. 6096–6104.
27. Vasconcelos I.F., Bunker B.A., Cygan R.T. Molecular dynamics modeling of ion adsorption to the basal surfaces of kaolinite // J. Phys. Chem. C. 2007. V. 111. № 18. P. 6753–6762.
28. Тарасевич Ю.И., Поляков В.Е., Трифонова М.Ю. Микрокалориметрическое исследование взаимодействия воды с поверхностью каолинита, модифицированного полигексаметиленгидридом // Коллоидный журнал. 2013. Т. 75. № 1. С. 123–127.
29. Scott A.M., Dawley M.M., Orlando T.M. et al. Theoretical study of the roles of Na⁺ and water on the adsorption of formamide on kaolinite surfaces // J. Phys. Chem. C. 2012. V. 116. № 45. P. 23992–24005.
30. Kruglikov A., Vasilchenko A., Kasprzhitskii A. et al. Atomic-level understanding of interface interactions in a halloysite nanotubes–PLA nanocomposite // RSC Adv. 2019. V. 9. P. 39505–39514.
31. Lee S.G., Choi J.I., Koh W. et al. Adsorption of β-d-glucose and cellobiose on kaolinite surfaces: density functional theory (DFT) approach // Appl. Clay Sci. 2013. V. 71. P. 73–81.
32. Liu X.D., Lu X.C., Wang R.C. et al. Atomic scale structures of interfaces between kaolinite edges and water // Geochim. Cosmochim. Acta. 2012. V. 92. P. 233–242.
33. Kremleva A., Krüger S., Rösch N. Uranyl adsorption at (010) edge surfaces of kaolinite: a density functional study // Geochim. Cosmochim. Acta. 2011. V. 75. № 3. P. 706–718.

34. Neder R.B., Burghammer M., Grasl T. et al. Refinement of the kaolinite structure from single-crystal synchrotron data // *Clays Clay Miner.* 1999. V. 47. P. 487–494.
35. Bish D.L. Rietveld refinement of the kaolinite structure at 1.5 K // *Clays Clay Miner.* 1993. V. 41. P. 738–744.
36. White G., Zelazny L. Analysis and implications of the edge structure of dioctahedral phyllosilicates // *Clays Clay Miner.* 1988. V. 36. P. 141–146.
37. Clark S.J., Segall M.D., Pickard C.J. et al. First principles methods using CASTEP // *Z. Kristallogr.* 2005. V. 220. P. 567–570.
38. Fabritius O., Puhakka E., Li X., Nurminen A. et al. Radium sorption on biotite; surface complexation modeling study // *Appl. Geochemistry* 2022. V. 140. P. 105289.
39. Kasprzhitskii A., Lazorenko G., Kharytonau D.S. et al. Adsorption mechanism of aliphatic amino acids on kaolinite surfaces // *Applied Clay Science.* 2022. V. 226. P. 106566.
40. Perdew J.P., Burke K., Wang Y. Generalized gradient approximation for the exchange-correlation hole of a many-electron system // *Phys. Rev. B.* 1996. V. 54. P. 16533.
41. Monkhorst H.J., Pack J.D. Special points for Brillouin-zone integrations // *Phys. Rev. B.* 1976. V. 13. № 12. P. 5188–5192.
42. Vanderbilt D. Soft self-consistent pseudopotentials in a generalized eigenvalue formalism // *Phys. Rev. B.* 1990. V. 41. № 11–15. P. 7892–7895.
43. Becke A.D., Johnson E.R. A density-functional model of the dispersion interaction // *J. Chem. Phys.* 2005. V. 123. № 154101. P. 1–9.
44. Ángyán J.G., Gerber I.C., Savin A. et al. van der Waals forces in density functional theory: perturbational long-range electron-interaction corrections // *Phys. Rev. A.* 2005. V. 72. № 012510. P. 1–9.
45. Schoonheydt R.A., Johnston C.T., Bergaya F. Developments in Clay Science. Amsterdam: Elsevier, 2018.
46. Morales M.A., McMinis J., Clark B.K. et al. Multideterminant wave functions in quantum Monte Carlo // *J. Chem. Theory Comput.* 2012. V. 8. № 7. P. 2181.
47. Shulenburger L., Mattsson T.R. Quantum Monte Carlo applied to solids // *Phys. Rev. B.* 2013. V. 88. P. 245117.
48. Grimme S., Hansen A., Brandenburg J.G. et al. Dispersion-corrected mean-field electronic structure methods // *Chem. Rev.* 2016. V. 116. № 9. P. 5105–5154.
49. Grimme S. Semiempirical GGA-type density functional constructed with a long-range dispersion correction // *J. Comput. Chem.* 2006. V. 27. № 15. P. 1787–1795.
50. Dubbeldam D., Calero S., Ellis D.E. et al. RASPA: molecular simulation software for adsorption and diffusion in flexible nanoporous materials // *Mol. Simul.* 2016. V. 42. № 2. P. 81–101.
51. Sun H., Ren P., Fried J.R. The COMPASS force field: parameterization and validation for phosphazenes // *Comput. Theor. Polym. Sci.* 1998. V. 8. № 1–2. P. 229–246.
52. Voevodin V.L., Antonov A., Nikitenko D. et al. Supercomputer Lomonosov-2: large scale, deep monitoring and fine analytics for the user community // *Supercomput. Front. Innov.* 2019. V. 6. P. 4–11.
53. Luzar A., Chandler D. Structure and hydrogen bond dynamics of water–dimethyl sulfoxide mixtures by computer simulations // *J. Chem. Phys.* 1993. V. 98. P. 8160–8173.
54. Mulliken R.S. Electronic population analysis on LCAO–MO molecular wave functions. II. Overlap populations, bond orders, and covalent bond energies // *J. Chem. Phys.* 1955. V. 23. № 10. P. 1841–1846.